

# 铜、钴、铁掺杂对二硫化钼电催化析氢性能的影响

胡陈艳<sup>1</sup>, 陈联国<sup>2</sup>

(1. 武汉工程大学 化学与环境工程学院, 武汉 430205; 2. 中国科学院 水生生物研究所, 武汉 430072)

**摘要:** 二硫化钼( $\text{MoS}_2$ )作为有望替代贵金属铂, 进行电催化析氢反应(HER)的良好催化剂, 其性能受到自身活性位点密度的限制。采用一步水热法合成不同过渡金属铜(Cu)、钴(Co)、和铁(Fe)掺杂的花形  $\text{MoS}_2$ , 并利用场发射扫描电子显微镜(FESEM)、X-射线衍射仪(XRD)及 X-射线光电子能谱分析仪(XPS)对所合成样品进行结构表征, 电化学测试考察不同过渡金属掺杂的  $\text{MoS}_2$  电催化产氢性能。结果显示, 摩尔分数为 0.50% 的 3 种过渡金属掺杂对  $\text{MoS}_2$  的形貌和晶体结构均没有明显影响, 但 Cu 和 Co 掺杂可以显著提高  $\text{MoS}_2$  的电催化析氢效果, 表现为  $\text{MoS}_2$  析氢过电位及 Tafel 斜率的降低, 原因可能在于 Cu 和 Co 掺杂能减小  $\text{MoS}_2$  电化学析氢过程的电荷转移阻力, 进一步对 Cu 和 Co 的掺杂量进行优化, 结果表明摩尔分数为 0.75% 的 Cu 和 1.00% 的 Co 分别为最佳量, 且制备所得材料 0.75%Cu@ $\text{MoS}_2$  和 1%Co@ $\text{MoS}_2$  在电催化析氢反应中具有一定的稳定性。

**关键词:** 过渡金属掺杂; 电催化析氢; 二硫化钼

**中图分类号:** O643.36

**文献标志码:** A

**文章编号:** 1000-2367(2024)05-0067-07

温室效应和能源枯竭是人类面临亟须解决的两大难题, 可持续的非化石燃料能源的开发和利用迫在眉睫。氢气( $\text{H}_2$ )燃烧热值高( $285.8 \text{ kJ} \cdot \text{mol}^{-1}$ ), 副产物绿色环保, 是理想的能源载体。近年来, 探究如何经济有效地制造氢气一直是氢能应用的重中之重<sup>[1]</sup>。电催化分解水产氢快速高效, 同时具有高选择性和高性价比等特点, 在高效制氢技术的研发方面具有很大优势, 其核心依赖于具有高活性和稳定性的产氢催化剂, 以提高电催化析氢反应的效率。目前, 这一催化剂还主要局限于价格高、地球储量少的贵金属铂, 无法满足大规模商业化应用的需要<sup>[2]</sup>。因而, 对具有优异 HER 催化性能的非贵金属催化剂的寻找尤为紧迫和必要。

2005 年, 科研人员通过计算发现, 二维层状二硫化钼(2D  $\text{MoS}_2$ )的吸氢吉布斯自由能大约为 0.1 eV, 能很好地平衡 HER 过程中氢在催化剂表面的吸附和解析, 理论上具有可与铂媲美的催化活性<sup>[3]</sup>。同时,  $\text{MoS}_2$  材料(电)化学性能稳定、成本低, 因而在产氢方面引起了广泛关注<sup>[4-7]</sup>。然而, 进一步的研究发现, 纯  $\text{MoS}_2$  催化 HER 的活性位点主要集中于其少量暴露的边缘原子, 而不是具有较大面积的内表面<sup>[8]</sup>。另外, 低的本征电导率也使得  $\text{MoS}_2$  的电子传递速度较差。为了克服这些缺点, 进一步提高  $\text{MoS}_2$  催化 HER 的实际性能, 对其进行缺陷、形貌、结构相的调控和优化等策略已有所报道<sup>[9-13]</sup>。例如, XIE 等<sup>[14]</sup>通过调节前驱体物质的比例, 合成了富有丰富缺陷的高催化活性  $\text{MoS}_2$  纳米片。王易娜等<sup>[15]</sup>将颗粒状  $\text{MoS}_2$  与石墨烯复合, 有效提高其 HER 催化活性。然而, 这些方法大多制备过程比较复杂, 成本较高, 例如对条件要求很高的气相沉积(CVD)或化学剥离等, 对其 HER 催化性能的提高离实际应用也有一定的差距。

**收稿日期:** 2023-11-13; **修回日期:** 2024-02-21。

**基金项目:** 国家自然科学基金(31971236); 武汉工程大学科学研究基金(K202251)。

**作者简介(通信作者):** 胡陈艳(1983—), 女, 河南信阳人, 武汉工程大学讲师, 硕士生导师, 研究方向为环境功能材料、污染物的毒性及去除研究, E-mail: huchenyang1984@126.com。

**引用本文:** 胡陈艳, 陈联国. 铜、钴、铁掺杂对二硫化钼电催化析氢性能的影响[J]. 河南师范大学学报(自然科学版), 2024, 52(5): 67-73. (Hu Chenyan, Chen Lianguo. Effect of Cu, Co, and Fe doping on electrocatalytic hydrogen evolution of  $\text{MoS}_2$  [J]. Journal of Henan Normal University(Natural Science Edition), 2024, 52(5): 67-73. DOI: 10.16366/j.cnki.1000-2367.2023.11.13.0001.)

杂原子掺杂在材料的物理化学及电子结构改性等方面具有广泛应用。在电催化析氢领域,非金属(氮,氟等)及金属(铂,镍等)掺杂亦可通过活化 MoS<sub>2</sub> 部分内表面及/或边缘、优化吸氢自由能、增加电子传递速率等,提高其性能<sup>[16~17]</sup>。如溶剂热法合成的锌原子掺杂 MoS<sub>2</sub> 活性点位明显增多,HER 活性显著提升<sup>[18]</sup>。镍掺杂也可以降低 HER 反应起始的水分解动力学屏障,利于氢氧根从催化剂表面的脱附,进而提高 HER 反应速度<sup>[19]</sup>。另外,过渡金属与 MoS<sub>2</sub> 在电催化分解水产氢的“火山型曲线”图上(HER volcano chart)占据相反位置,即在氢的吸附和解析方面各具优势<sup>[3]</sup>。因而,利用过渡金属掺杂 MoS<sub>2</sub>,有望进一步优化其表面吸氢自由能,提高其电催化析氢性能,但不同过渡金属掺杂的性能比较还未见报道。基于此,本研究利用一步水热合成法,在温和条件下制备了 3 种不同过渡金属铜(Cu)、钴(Co)和铁(Fe)掺杂 MoS<sub>2</sub>,并通过各种物理化学表征和电化学分析,探究了过渡金属掺杂对 MoS<sub>2</sub> 电催化 HER 性能的影响。结果显示,Cu 和 Co 掺杂在提高 MoS<sub>2</sub> 催化析氢方面性能显著,且明显优于 Fe 掺杂。鉴于对高效水分解产氢催化剂的紧迫需求,本研究的开展可能会为其电极催化剂的设计和开发提供新思路。

## 1 材料与方法

### 1.1 不同金属(Cu、Co、Fe)掺杂 MoS<sub>2</sub> 的制备

纯 MoS<sub>2</sub> 的制备参照文献[14]。简述如下:将 1 mmol 四水钼酸铵((NH<sub>4</sub>)<sub>6</sub>Mo<sub>7</sub>O<sub>24</sub> · 4H<sub>2</sub>O, 分析纯, 阿拉丁)和 30 mmol 硫脲(分析纯, 阿拉丁)溶于 35 mL 去离子水, 超声 10 min, 然后转移至 50 mL 聚四氟乙烯内衬的水热釜中, 220 ℃ 反应 18 h。自然冷却至室温后, 反复离心洗涤得黑色固体, 置于 60 ℃ 烘箱中干燥过夜, 制备得纯 MoS<sub>2</sub>。

Cu 掺杂 MoS<sub>2</sub> 的制备:按 Cu 原子与 MoS<sub>2</sub> 物质的量之比为 0.25%、0.50%、0.75% 和 1.00% 的比例分别将  $1.75 \times 10^{-2}$ 、 $3.50 \times 10^{-2}$ 、 $5.25 \times 10^{-2}$ 、 $7.00 \times 10^{-2}$  mmol 硝酸铜与 MoS<sub>2</sub> 合成前驱体一起溶于去离子水中, 其余同 MoS<sub>2</sub> 合成步骤, 制备所得样品分别命名为 0.25%Cu@MoS<sub>2</sub>, 0.5%Cu@MoS<sub>2</sub>, 0.75%Cu@MoS<sub>2</sub> 和 1%Cu@MoS<sub>2</sub>。

Co 和 Fe 掺杂 MoS<sub>2</sub> 的制备分别利用硝酸钴和硝酸铁作为 Co 源和 Fe 源, 其他步骤同上(Co 1.25% 掺杂比例中硝酸钴用量为  $8.75 \times 10^{-2}$  mmol, Fe 的掺杂只考察了 0.50% 比例)。

### 1.2 样品表征

采用场发射扫描电子显微镜(FESEM, Hitachi S-4800)对样品的形貌进行观察。X-射线衍射仪(XRD, Bruker AXS D8)利用 40 kV, 40 mA 的 Cu K $\alpha$  作为射线源, 测试角度为 5°~80°, 扫描速率为 5°/min。采用 X 射线光电子能谱仪(XPS, ThermoFischer ESCALAB 250Xi)分析样品表面元素组成和价态, 并用 284.8 eV 的 C 1s 标准峰对数据进行校准。

### 1.3 电化学测试和分析

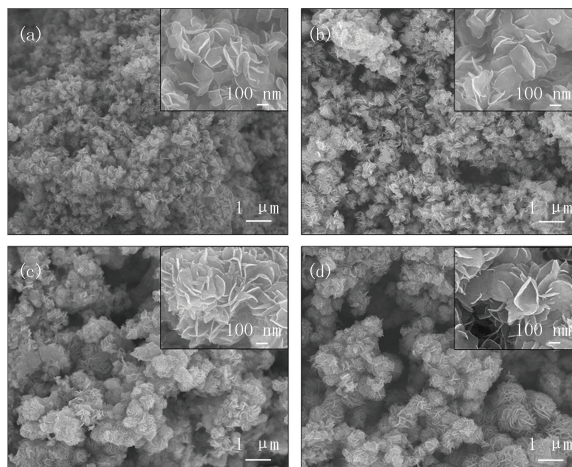
电化学测试在上海辰华电化学工作站(CHI660D, CH Instruments)上完成。以催化剂修饰的玻碳电极(直径 3 mm)为工作电极, 铂电极为对电极, Ag/AgCl 电极为参比电极, 组成三电极体系, 电解液为氮气饱和的 0.5 mol/L 的 H<sub>2</sub>SO<sub>4</sub> 溶液。工作电极的制备是将含有不同 MoS<sub>2</sub> 催化剂(2 mg/mL)的甲醇溶液分 5 次, 共计 100 μL 滴加(20 μL/次)至打磨干净的玻碳电极上。线性扫描伏安(LSV)测试时扫描速率为 5 mV/s, 不进行 iR 补偿校准。在 250 mV 过电位下进行电化学阻抗谱的测定, 频率范围为 0.01 Hz~100 kHz。所测电压利用能斯特方程  $E_{\text{RHE}} = E_{\text{Ag/AgCl}} + 0.059 \times \text{pH} + 0.197 \text{ V}$ , 转化为可逆氢电极电位(RHE)。

## 2 结果与讨论

### 2.1 催化剂结构表征

图 1 为所制备的纯 MoS<sub>2</sub> 及 0.5%TM@MoS<sub>2</sub>(TM=Cu, Co, Fe)样品的 FESEM 形貌图。从图 1(a)可以看出, 纯 MoS<sub>2</sub> 呈花形, 包含数片尺寸在 300~400 nm, 厚度仅有 2~4 nm 的超薄花瓣。这一超薄结构能暴露更多 MoS<sub>2</sub> 边缘析氢活性位点, 有利于其电催化析氢<sup>[14,20]</sup>。0.5%Cu@MoS<sub>2</sub>(图 1(b)), 0.5%Co@MoS<sub>2</sub>(图 1(c)), 0.5%Fe@MoS<sub>2</sub>(图 1(d))显示出与纯 MoS<sub>2</sub> 相似的形貌结构, 说明过渡金属掺杂对 MoS<sub>2</sub> 形貌的影响不显著。

利用 XRD 对所合成样品的物相结构进行分析, 结果如图 2 所示。纯  $\text{MoS}_2$  与 0.5% TM@ $\text{MoS}_2$  (TM=Cu, Co, Fe) 均显示出明显的衍射峰, 且与 2H- $\text{MoS}_2$  标准卡 (JCPDS card No. 73-1508) 相吻合, 说明制备所得材料为 2H 相  $\text{MoS}_2$ 。14.39°、39.65°、58.56° 处的衍射峰分别归属于  $\text{MoS}_2$  的 (002)、(103) 及 (110) 晶面, (100) 与 (101) 晶面对应衍射峰有所重叠, 在 33° 附近显示出一个较宽的峰。0.5% TM@ $\text{MoS}_2$  (TM=Cu, Co, Fe) 的 XRD 谱图与纯  $\text{MoS}_2$  没有明显区别, 可能因为掺杂的过渡金属的量比较少, 已很好地分散在  $\text{MoS}_2$  的晶格中, 因而不会明显影响其晶体结构。



(a) 纯  $\text{MoS}_2$ ; (b) 0.5% Cu@ $\text{MoS}_2$ ; (c) 0.5% Co@ $\text{MoS}_2$  和 (d) 0.5% Fe@ $\text{MoS}_2$ ;

内插图为各材料的局部放大图。

图 1 不同样品的 FESEM 形貌图

Fig. 1 FESEM morphologies of different samples

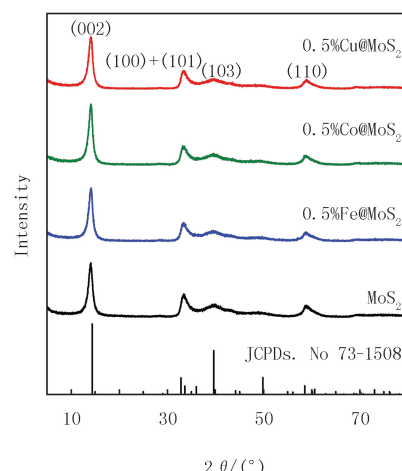


图 2 纯  $\text{MoS}_2$  及不同过渡金属 (Cu, Co 和 Fe) 掺杂  $\text{MoS}_2$  的 XRD 图谱

Fig. 2 X-ray diffraction patterns of different transition metals (Cu, Co and Fe) doped  $\text{MoS}_2$  and pristine  $\text{MoS}_2$

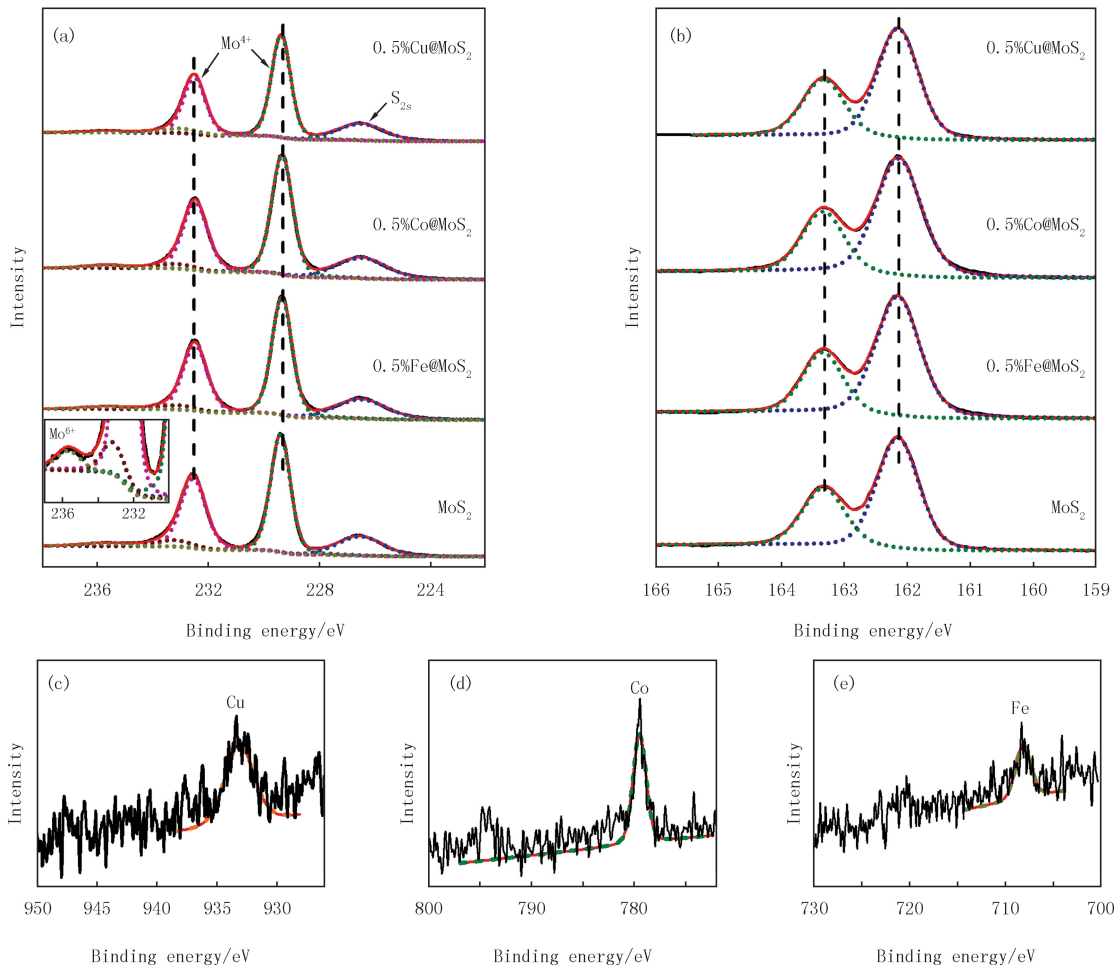
为了进一步了解所制备材料的元素组成及价态, 对样品进行了 XPS 分析。图 3(a) 为纯  $\text{MoS}_2$  及 0.5% TM@ $\text{MoS}_2$  (TM=Cu, Co, Fe) 的 Mo 3d 谱分峰图, 其中 229.4 和 232.5 eV 分别对应于  $\text{MoS}_2$  的  $\text{Mo}^{4+}$   $3\text{d}_{5/2}$  和  $3\text{d}_{3/2}$  轨道, 233.3 和 236.0 eV 处也观察到  $\text{Mo}^{6+}$  对应的峰 (图 3(a) 内插图), 可能由于样品放置于空气中, 表面  $\text{Mo}^{4+}$  氧化所致<sup>[16]</sup>。另外, 226.4 eV 处对应的峰则属于 S 元素的 2s 轨道。图 3b 为样品的 S 2p 图, 163.3 及 162.2 eV 分别对应  $\text{S}^{2-}$  的  $2\text{p}_{1/2}$  及  $2\text{p}_{3/2}$ , 证明所制备材料为  $\text{MoS}_2$ , 无其他价态。图 3(c–e) 分别为 0.5% Cu@ $\text{MoS}_2$  样品的 Cu 2p, 0.5% Co@ $\text{MoS}_2$  的 Co 2p, 及 0.5% Fe@ $\text{MoS}_2$  的 Fe 2p 图。这些明显存在的各掺杂元素轨道图, 说明其已成功掺入  $\text{MoS}_2$  中。

## 2.2 不同过渡金属掺杂对 $\text{MoS}_2$ 电催化析氢性能的影响

在标准三电极体系下, 测试分析纯  $\text{MoS}_2$  及 0.5% TM@ $\text{MoS}_2$  (TM=Cu, Co, Fe) 的电催化析氢性能, 电解液为氮气饱和的 0.5 mol/L  $\text{H}_2\text{SO}_4$  溶液。图 4(a) 为各电极阴极极化曲线。优异的电催化析氢催化剂需要具有较低的 HER 过电位, 即析氢反应的起始电位较低。从图 4(a) 分析可知, 0.5% Cu 和 0.5% Co 掺杂的  $\text{MoS}_2$  均具有比纯  $\text{MoS}_2$  低的起始电位, 且随着阴极电位的增加, 电流迅速上升。进一步对比分析各电极在电流为 10  $\text{mA} \cdot \text{cm}^{-2}$  时的过电位 ( $\eta_{10}$ ) 可知 (图 4(b)), 0.5% Cu@ $\text{MoS}_2$  和 0.5% Co@ $\text{MoS}_2$  电极的  $\eta_{10}$  分别为 250 mV 和 309 mV, 远小于纯  $\text{MoS}_2$  (352 mV), 表明 Cu 和 Co 的掺杂可显著提高  $\text{MoS}_2$  的电催化析氢活性。相比而言, Fe 的掺杂不利于  $\text{MoS}_2$  电催化析氢, 其  $\eta_{10}$  需要达到 439 mV。与其他报道相比<sup>[14]</sup>, 本研究测试的  $\text{MoS}_2$  HER 活性相对较弱, 可能与电极的制备有关, 在后续的研究中还需重点关注。

Tafel 斜率是电催化析氢材料的内在特性, 反映电催化析氢过程的动力学特征, 是分析电极材料性能的一个重要指标。Tafel 方程可表述为  $\eta = a + b * \lg |j|$ , 其中  $\eta$ 、 $a$ 、 $b$ 、 $j$  分别为过电位、常数、Tafel 斜率及电流密度。由 Tafel 方程可知 Tafel 斜率越小, 电催化反应速度越快, 析氢性能越好。图 4(c) 展示了纯  $\text{MoS}_2$ 、0.5% Cu@ $\text{MoS}_2$ 、0.5% Co@ $\text{MoS}_2$  及 0.5% Fe@ $\text{MoS}_2$  的 Tafel 斜率, 分别为 199、134、129 及 147  $\text{mV} \cdot \text{dec}^{-1}$ 。3 种过渡金属掺杂  $\text{MoS}_2$  的 Tafel 斜率均比纯  $\text{MoS}_2$  小, 即电势往阴极推动过程中, 其电流上升较快, 析氢反应速度增加较快。

纯  $\text{MoS}_2$  及 Cu、Co、Fe 掺杂  $\text{MoS}_2$  电极的电化学阻抗谱如图 4(d)所示。0.5% Cu 和 0.5% Co 掺杂  $\text{MoS}_2$  电极在 HER 过程中阻抗谱半圆明显比纯  $\text{MoS}_2$  小, 即其界面电荷转移阻力明显较小, 这也意味着 Cu 和 Co 的掺杂可以提高  $\text{MoS}_2$  表面电荷转移速度, 进而加快析氢反应。Fe 掺杂虽然可以减小  $\text{MoS}_2$  电极的 Tafel 斜率, 但其界面电荷转移阻力明显大于纯  $\text{MoS}_2$ , 因而所需 HER 析氢过电位较高, 具体原因还需要进一步深入研究。



(a) Mo 3d; (b) S 2p; (c) 0.5%Cu@ $\text{MoS}_2$  Cu 2p; (d) 0.5%Co@ $\text{MoS}_2$  Co 2p; (e) 0.5%Fe@ $\text{MoS}_2$  Fe 2p 高分辨图。

图3 纯  $\text{MoS}_2$  及不同过渡金属(Cu, Co和Fe)掺杂  $\text{MoS}_2$  的XPS图谱

Fig. 3 XPS spectra of pristine  $\text{MoS}_2$  and different transition metals(Cu, Co and Fe) doped  $\text{MoS}_2$

### 2.3 Cu 和 Co 掺杂量的优化

0.5% Cu 和 Co 掺杂对  $\text{MoS}_2$  电催化析氢性能有显著提高(图 4), 因而为了优化 Cu 和 Co 的掺杂量, 进一步合成了摩尔分数为 0.25%、0.75%、1.00% Cu 掺杂的  $\text{MoS}_2$ , 以及 0.25%、0.75%、1.00%、1.25% Co 掺杂的  $\text{MoS}_2$ 。各电极的电催化析氢性能结果见图 5。从图 5(a)可知, Cu 的掺杂明显提高  $\text{MoS}_2$  电催化析氢活性, 且随着掺杂比例的增多, 效果越来越显著,  $\eta_{10}$  析氢过电位从 352 mV (0.25% Cu@ $\text{MoS}_2$ ) 降至 248 mV (0.75% Cu@ $\text{MoS}_2$ ) (图 5(a)内插图)。然而, 随着 Cu 掺杂量的进一步增加, 其析氢活性有所下降, 1% Cu@ $\text{MoS}_2$  的  $\eta_{10}$  过电位增至 311 mV, 这可能是由于掺杂量过多引起材料活性位点的减少等原因。各电极对应的 Tafel 斜率也呈现出相同规律, 具体表现为 0.75% Cu@ $\text{MoS}_2$  的 Tafel 斜率最小 ( $113 \text{ mV} \cdot \text{dec}^{-1}$ ), 其次为 0.5% Cu@ $\text{MoS}_2$  ( $134 \text{ mV} \cdot \text{dec}^{-1}$ )、1% Cu@ $\text{MoS}_2$  ( $149 \text{ mV} \cdot \text{dec}^{-1}$ )、0.25% Cu@ $\text{MoS}_2$  ( $189 \text{ mV} \cdot \text{dec}^{-1}$ )、 $\text{MoS}_2$  ( $199 \text{ mV} \cdot \text{dec}^{-1}$ )。

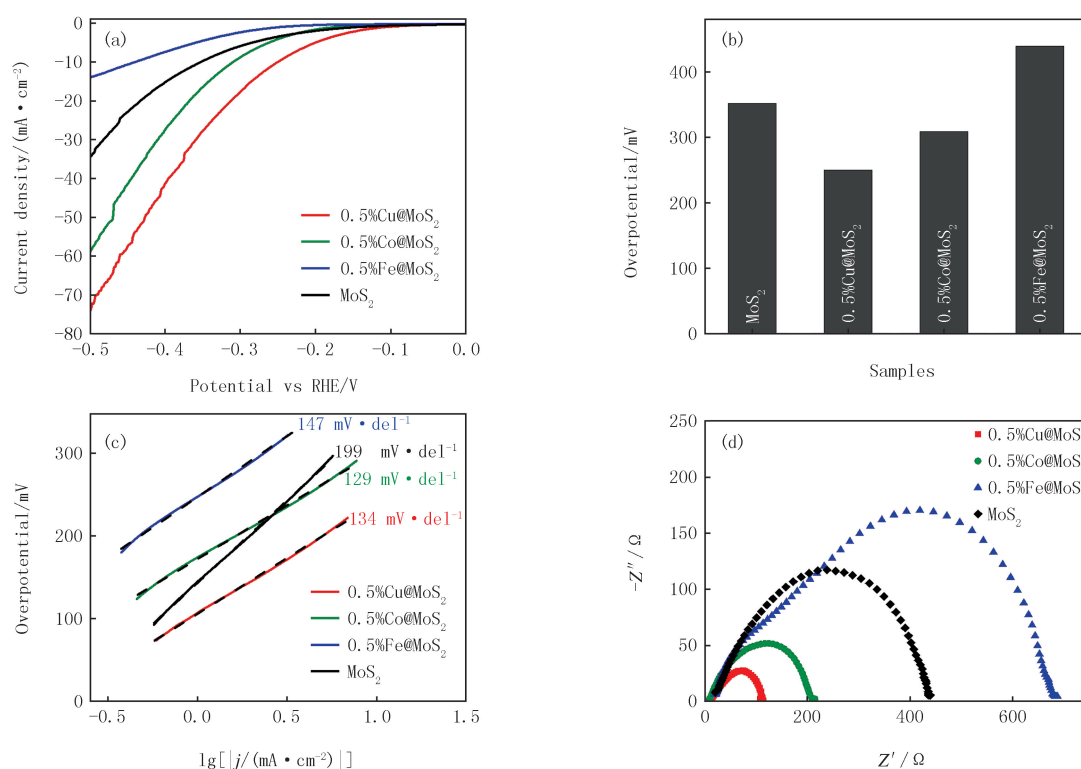
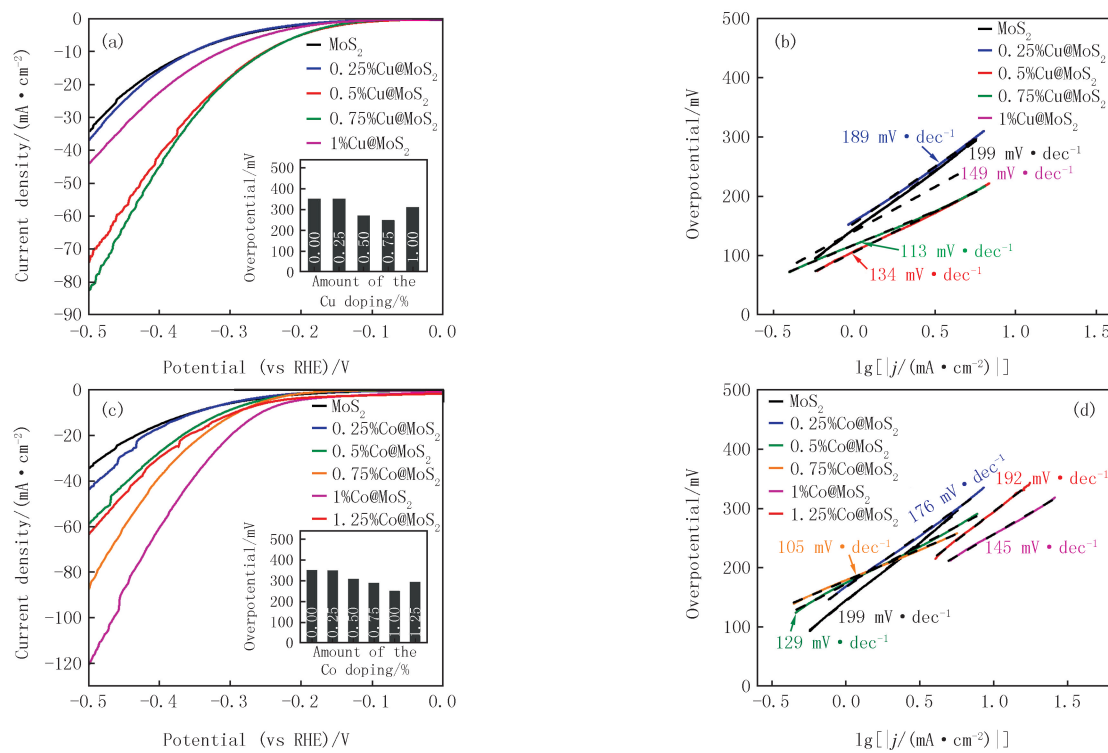


图4 纯MoS<sub>2</sub>及0.5%TM@MoS<sub>2</sub>(TM=Cu, Co, Fe)在氮气饱和0.5 mol/L H<sub>2</sub>SO<sub>4</sub>电解液中的极化曲线(a), 10 mA · cm<sup>-2</sup>电流时对应过电位(b), Tafel曲线(c)及电化学阻抗图(d)

Fig. 4 Polarization curves(a), overpotential at 10 mA · cm<sup>-2</sup>(b), Tafel plot(c) and impedance spectra(d) of pristine MoS<sub>2</sub> and 0.5%TM@MoS<sub>2</sub> (TM=Cu, Co, Fe) catalysts in N<sub>2</sub>-pergued 0.5 mol/L H<sub>2</sub>SO<sub>4</sub>



(a, b) MoS<sub>2</sub>及Cu@MoS<sub>2</sub>; (c, d) MoS<sub>2</sub>及Co@MoS<sub>2</sub>; (a, c)内插图为各催化剂在10 mA · cm<sup>-2</sup>电流时对应的过电位.

图5 样品的极化曲线(a, c)及其对应的Tafel图(b, d)  
Fig. 5 Polarization curves(a, c) and their co-responding Tafel plots(b, d)

Co掺杂量的影响与Cu有着相似趋势,所需 $\eta_{10}$ 过电位随着掺杂量的增加,逐渐从350 mV(0.25%Co@MoS<sub>2</sub>)降至250 mV(1%Co@MoS<sub>2</sub>)(图5(c)内插图).因为过渡金属特性的不同,Co掺杂的最优量为1.00%,其Tafel斜率为145 mV·dec<sup>-1</sup>(图5d),远低于纯MoS<sub>2</sub>(199 mV·dec<sup>-1</sup>).

稳定性是拓展催化剂应用必然要考虑的重要因素,因此本实验利用多次循环伏安法测试所制备掺杂材料(0.75%Cu@MoS<sub>2</sub>和1%Co@MoS<sub>2</sub>)的电化学析氢反应的稳定性.图6(a)为起始和100次循环后的两种材料的极化曲线.通过对比可发现,在100次循环伏安测试之后,这两种材料仍然具有良好的电化学析氢性能,表现出一定的电化学稳定性.图6(b)中析氢过电位循环后略有上升,可能是由于测试过程中,部分材料的脱落所引起的.

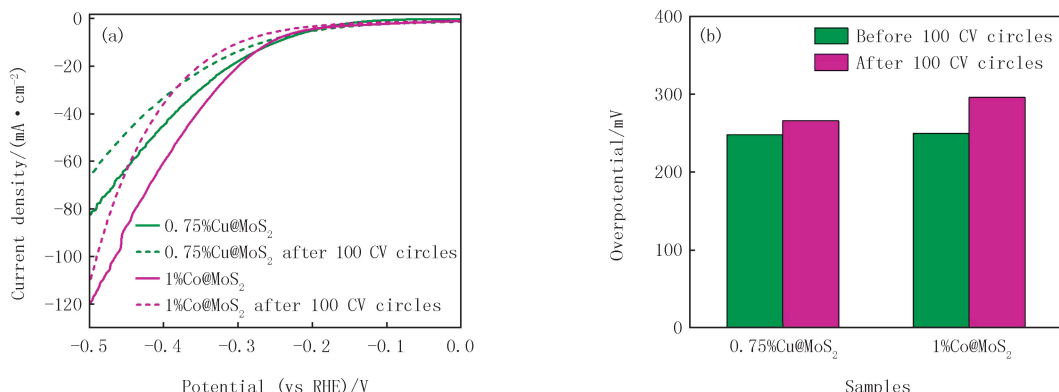


图6 起始以及100次循环伏安后0.75%Cu@MoS<sub>2</sub>和1%Co@MoS<sub>2</sub>样品的极化曲线(a)及其在10 mA · cm<sup>-2</sup>电流时对应过电位(b)

Fig. 6 Polarization curves of 0.75%Cu@MoS<sub>2</sub> and 1%Co@MoS<sub>2</sub> before and after 100 CV circles(a) and their corresponding overpotentials at 10 mA · cm<sup>-2</sup>(b)

### 3 结 论

本研究采用温和的一步水热合成法,成功将3种过渡金属(Cu, Co, Fe)掺入二维片层花状MoS<sub>2</sub>电催化剂.尽管过渡金属掺杂没有明显影响MoS<sub>2</sub>的形貌和晶体结构,但电化学分析结果证明,Cu和Co掺杂可显著增强MoS<sub>2</sub>电催化析氢活性,具体表现为适当的掺杂量可降低析氢过电位及Tafel斜率,可能原因是Cu和Co掺杂能减小MoS<sub>2</sub>HER过程的界面电荷转移阻力,进而促进其表面析氢反应.Fe掺杂对MoS<sub>2</sub>析氢性能的影响较复杂,其所需过电位较高,但Tafel斜率较小.

### 参 考 文 献

- [1] YANG W, CHEN S W. Recent progress in electrode fabrication for electrocatalytic hydrogen evolution reaction: a mini review[J]. Chemical Engineering Journal, 2020, 393: 124726.
- [2] SEH Z W, KIBSGAARD J, DICKENS C F, et al. Combining theory and experiment in electrocatalysis: insights into materials design[J]. Science, 2017, 355(6321): eaad4998.
- [3] HINNEMANN B, MOSES P G, BONDE J, et al. Biomimetic hydrogen evolution: MoS<sub>2</sub> nanoparticles as catalyst for hydrogen evolution [J]. Journal of the American Chemical Society, 2005, 127(15): 5308-5309.
- [4] WANG H, XIAO X, LIU S Y, et al. Structural and electronic optimization of MoS<sub>2</sub> edges for hydrogen evolution[J]. Journal of the American Chemical Society, 2019, 141(46): 18578-18584.
- [5] GAO Y P, HOU Z Q, HUANG K J. Nanosheets assembling three-dimensional molybdenum disulfide nanospheres for efficient hydrogen evolution reaction[J]. Materials Letters, 2019, 255: 126594.
- [6] MARINOV A D, BRAVO PRIEGUE L, SHAH A R, et al. Ex situ characterization of 1T/2H MoS<sub>2</sub> and their carbon composites for energy applications, a review[J]. ACS Nano, 2023, 17(6): 5163-5186.
- [7] MONDAL A, VOMIERO A. 2D transition metal dichalcogenides-based electrocatalysts for hydrogen evolution reaction[J]. Advanced Functional Materials, 2022, 32(52): 2208994.
- [8] TSAI C, ABILD-PEDERSEN F, NØRSKOV J K. Tuning the MoS<sub>2</sub> edge-site activity for hydrogen evolution via support interactions[J]. Nano Letters, 2014, 14(3): 1381-1387.

- [9] JIAO S L, YAO Z Y, XUE F, et al. Defect-rich one-dimensional MoS<sub>2</sub> hierarchical architecture for efficient hydrogen evolution: coupling of multiple advantages into one catalyst[J]. Applied Catalysis B: Environmental, 2019, 258: 117964.
- [10] KWAK I H, KWON I S, DEBELA T T, et al. Two-dimensional MoS<sub>2</sub>-melamine hybrid nanostructures for enhanced catalytic hydrogen evolution reaction[J]. Journal of Materials Chemistry A, 2019, 7(39): 22571-22578.
- [11] 李渊, 唐佳莹, 初园园, 等. 不同形貌 MoS<sub>2</sub> 电催化剂的制备及其析氢性能[J]. 天津工业大学学报, 2021, 40(1): 31-35.
- LI Y, TANG J Y, CHU Y Y, et al. Preparation of MoS<sub>2</sub> electrocatalyst with different morphologies and catalytic performance of hydrogen evolution reaction[J]. Journal of Tiangong University, 2021, 40(1): 31-35.
- [12] XIE J F, YANG X Y, XIE Y. Defect engineering in two-dimensional electrocatalysts for hydrogen evolution[J]. Nanoscale, 2020, 12(7): 4283-4294.
- [13] NIU S W, CAI J Y, WANG G M. Two-dimensional MOS<sub>2</sub> for hydrogen evolution reaction catalysis: the electronic structure regulation[J]. Nano Research, 2021, 14(6): 1985-2002.
- [14] XIE J F, ZHANG H, LI S, et al. Defect-rich MoS<sub>2</sub> ultrathin nanosheets with additional active edge sites for enhanced electrocatalytic hydrogen evolution[J]. Advanced Materials, 2013, 25(40): 5807-5813.
- [15] 王易娜, 杜记民, 李凯迪, 等. MoS<sub>2</sub>-石墨烯的制备及其电催化析氢性能的研究[J]. 化学研究与应用, 2019, 31(4): 690-696.
- WANG Y N, DU J M, LI K D, et al. Preparation of MoS<sub>2</sub>/graphene composites and its electrocatalytic water splitting performance[J]. Chemical Research and Application, 2019, 31(4): 690-696.
- [16] XUE J Y, LI F L, ZHAO Z Y, et al. In situ generation of bifunctional Fe-doped MoS<sub>2</sub> nanocanopies for efficient electrocatalytic water splitting[J]. Inorganic Chemistry, 2019, 58(16): 11202-11209.
- [17] LI R Z, LIANG J, LI T S, et al. Recent advances in MoS<sub>2</sub>-based materials for electrocatalysis[J]. Chemical Communications, 2022, 58(14): 2259-2278.
- [18] SHI Y, ZHOU Y, YANG D R, et al. Energy level engineering of MoS<sub>2</sub> by transition-metal doping for accelerating hydrogen evolution reaction[J]. Journal of the American Chemical Society, 2017, 139(43): 15479-15485.
- [19] ZHANG J, WANG T, LIU P, et al. Engineering water dissociation sites in MoS<sub>2</sub> nanosheets for accelerated electrocatalytic hydrogen production[J]. Energy & Environmental Science, 2016, 9(9): 2789-2793.
- [20] 高志永, 胡战强. 纳米片状 CuCo<sub>2</sub>O<sub>4</sub> 的合成及析氧性能研究[J]. 河南师范大学学报(自然科学版), 2024, 52(1): 34-41.
- GAO Z Y, HU Z Q. Synthesis of CuCo<sub>2</sub>O<sub>4</sub> nanoflakes for oxygen evolution reaction[J]. Journal of Henan Normal University(Natural Science Edition), 2024, 52(1): 34-41.

## Effect of Cu, Co and Fe doping on electrocatalytic hydrogen evolution of MoS<sub>2</sub>

Hu Chenyan<sup>1</sup>, Chen Lianguo<sup>2</sup>

(1. School of Chemistry and Environmental Engineering, Wuhan Institute of Technology, Wuhan 430205, China;

2. Institute of Hydrobiology, Chinese Academy of Sciences, Wuhan 430072, China)

**Abstract:** As a potential candidate to replace noble metal Pt for electrocatalytic hydrogen evolution reaction (HER), MoS<sub>2</sub> shows the performance limit in its active site density. In this work, one step hydrothermal synthesis was employed to prepare different transition metal(Cu, Co, Fe) doped flower-like MoS<sub>2</sub>. Meanwhile, FESEM, XRD, XPS technologies were used to characterize the as-prepared materials, and electrochemical measurement was conducted to examine their HER properties. The results show that doping of 0.50% (molar fraction) transition metal in MoS<sub>2</sub> had no obvious influence on its morphology and phase structure. However, Cu and Co doping could significantly enhance the HER activities of MoS<sub>2</sub>, exhibiting the reduced overpotential and Tafel slope. The possible reason could be the decreased charge transfer resistance during the HER process, as a result of the Cu and Co doping. The further optimization of the doping amounts of Cu and Co showed that 0.75% Cu and 1.00% Co(molar fraction) were their individual best concentrations for improving the HER performance of MoS<sub>2</sub>, and thereby obtaining materials(0.75%Cu@MoS<sub>2</sub> and 1%Co@MoS<sub>2</sub>) displayed good stability in HER reaction.

**Keywords:** transition metal doping; electrocatalytic hydrogen evolution; MoS<sub>2</sub>